

*Лекция 2. Свободные колебания в системе
связанных осцилляторов*



***) 1.5*. Особенности колебаний нелинейного осциллятора**

1.5.1. Линейный осциллятор – гармонический осциллятор
(или откуда берутся гармонические колебания?)

$$\ddot{\xi} + \omega_0^2 \cdot \xi = 0$$

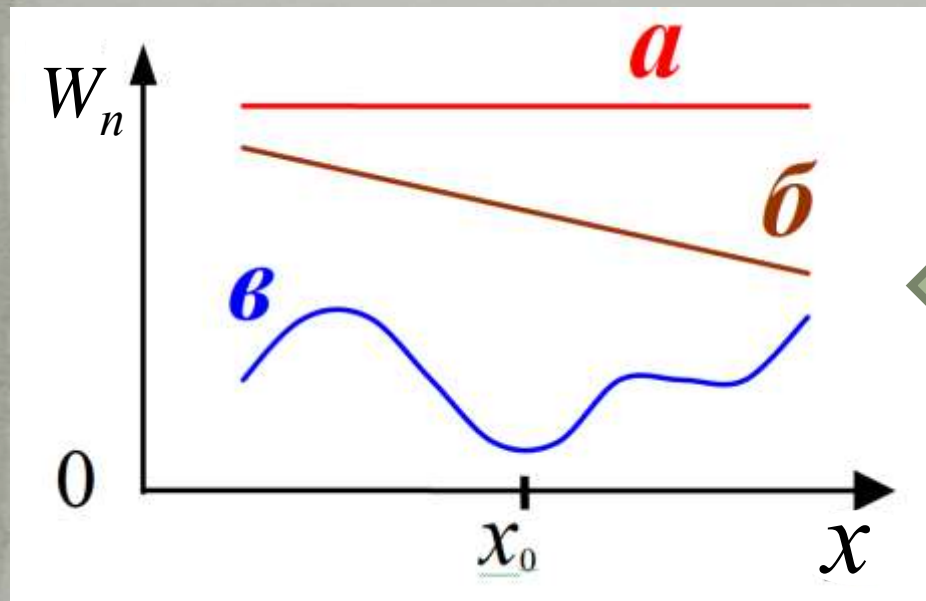
*A как это так
получается?*

$$F \sim x \quad ??$$

Система консервативна \Rightarrow

$$F_x = -\frac{dW_n}{dx}$$

$$W_n(x) = \frac{kx^2}{2}$$



$$\Rightarrow W_n \sim x^2, \text{ пружина}$$

A если $W_n(x)$ – сложная функция?

$x - x_0 \equiv \xi$ – «малый аргумент»

Разложим в ряд

$$W_n(x) = W_n(x_0) + \left. \frac{dW_n}{dx} \right|_{x=x_0} \cdot (x - x_0) + \left. \frac{1}{2} \frac{d^2W_n}{dx^2} \right|_{x=x_0} \cdot (x - x_0)^2 + \dots$$

$$\rightarrow W_n(\xi) = U(0) + \frac{dW_n}{dx} \Big|_{\xi=0} \cdot \xi + \frac{1}{2} \frac{d^2W_n}{dx^2} \Big|_{\xi=0} \cdot \xi^2 + \dots$$

ξ мало ! Тогда:

Но: $F_x = -\frac{dW_n}{dx}$ и тогда $F_x = -k\xi$

$$W_n(\xi) \approx W_n(0) + \frac{1}{2} \frac{d^2W_n}{dx^2} \Big|_{\xi=0} \cdot \xi^2 = W_n(0) + \frac{k\xi^2}{2}$$

$k = \frac{d^2W_n}{dx^2} \Big|_{\xi=0}$



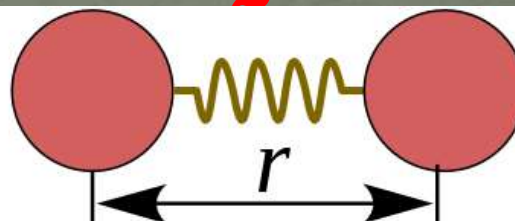
«Возвращающая сила», линейный, гармонический осциллятор !!!

А если $W_n(\xi)$ не пропорциональна ξ^2 ?

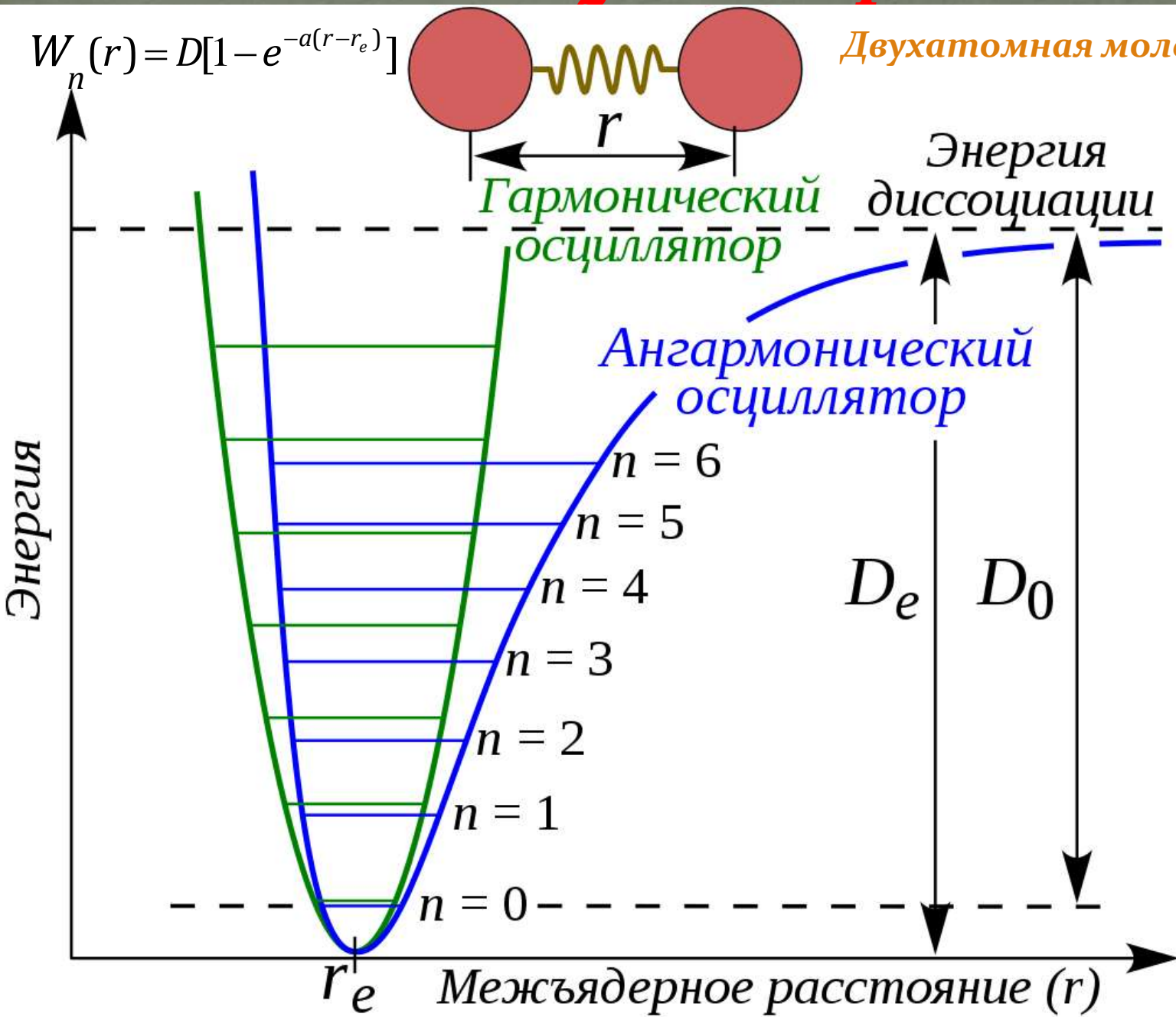
**Примеры: “Потенциал Морзе”, ... (“Леннард-Джонса” (6/12),
“Бакингема”, ...)**

«Потенциал Морзе»

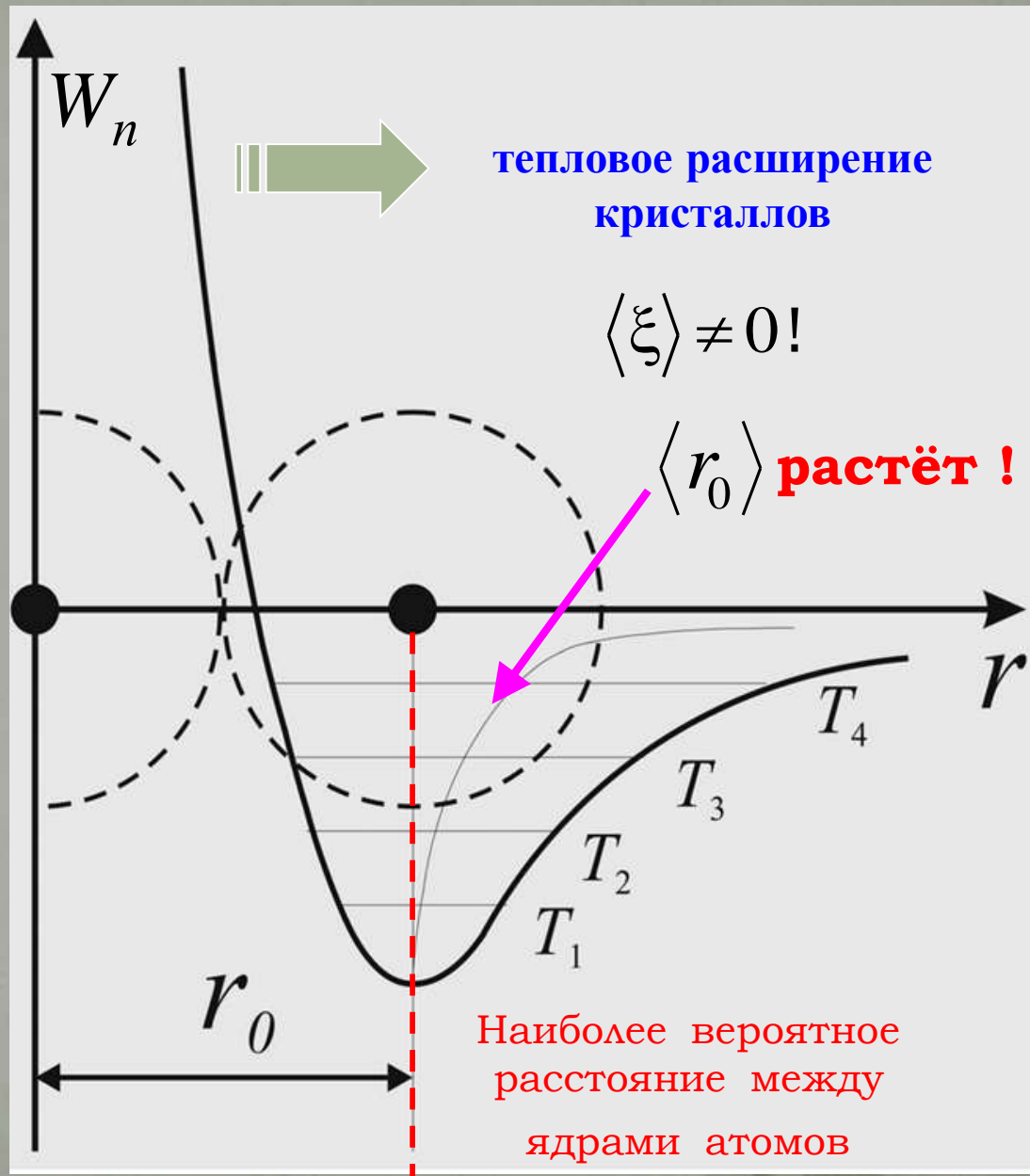
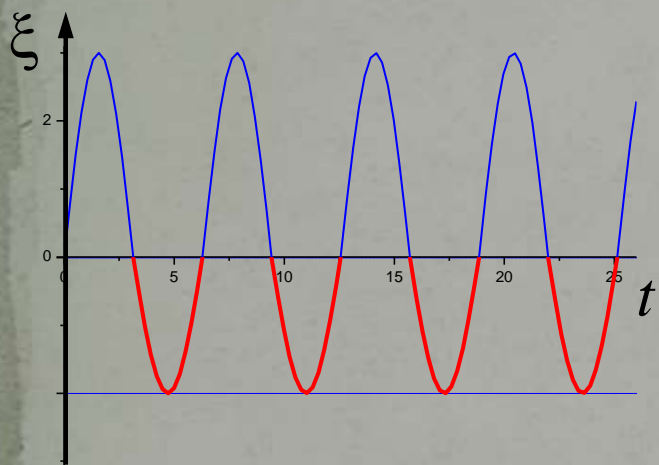
$$W_n(r) = D[1 - e^{-a(r-r_e)}]$$



Двухатомная молекула



- Ангармонизм колебаний нелинейного осциллятора





1.5.2. Нелинейный («ангармонический») осциллятор

ξ *растёт* \Rightarrow нельзя «аппроксимировать параболой»

$$\ddot{\xi} + f(\xi) = 0 \quad \downarrow \quad f(\xi) = k \cdot \xi + k_2 \cdot \xi^2 + k_3 \cdot \xi^3 + \dots$$

$$\xi(t) = A_1 \cdot \cos(\omega_0 t + \varphi_0) + A_2 \cdot \cos(2\omega_0 t + \varphi_{02}) + A_3 \cdot \cos(3\omega_0 t + \varphi_{03}) + \dots$$

Ангармонизм

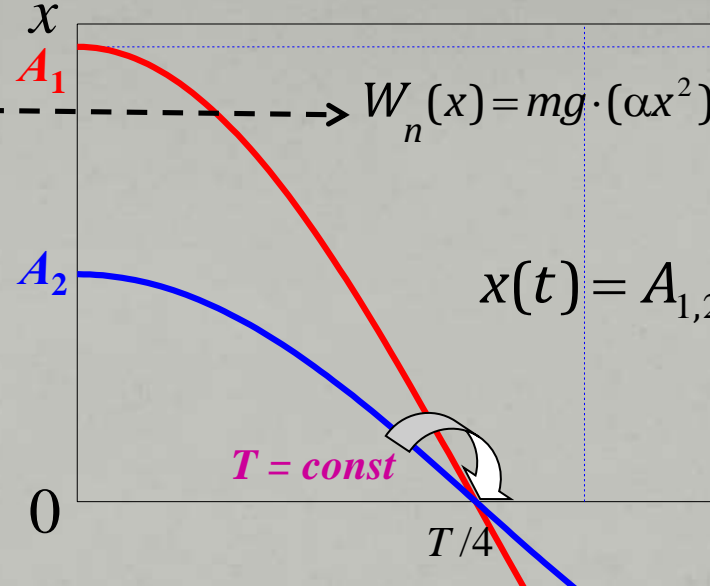
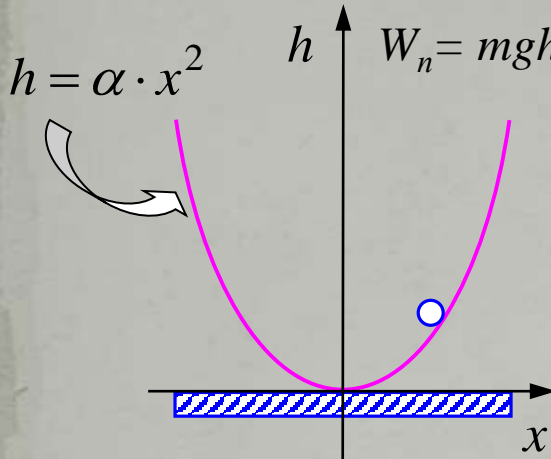
Неизохронность

! ??



Изохронность / Неизохронность

Пример 1: "Чаша", ...

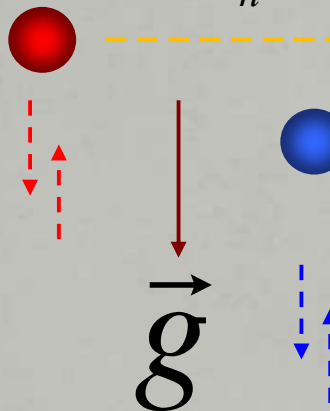


m.e. $W_n(x) \sim x^2$

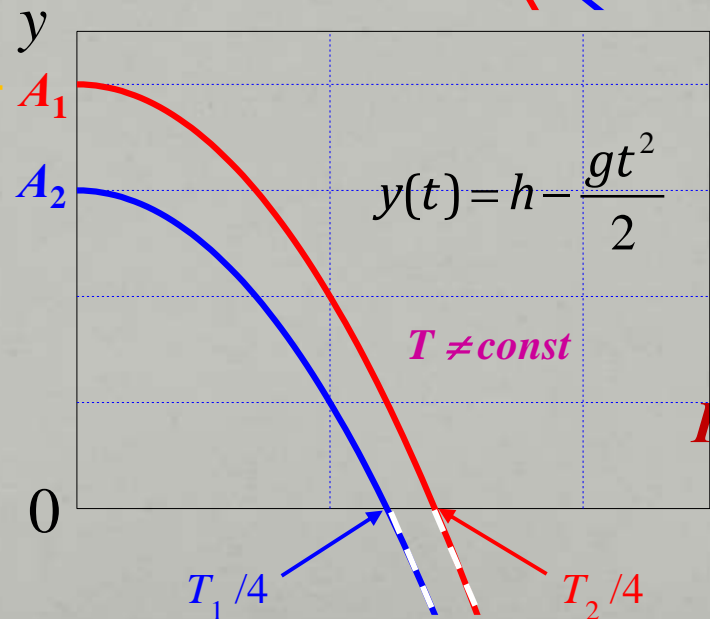
$F_x = -kx$

Изохронность

Пример 2: $W_n = mg \cdot y$



Амплитуды разные



$F = \text{const}$

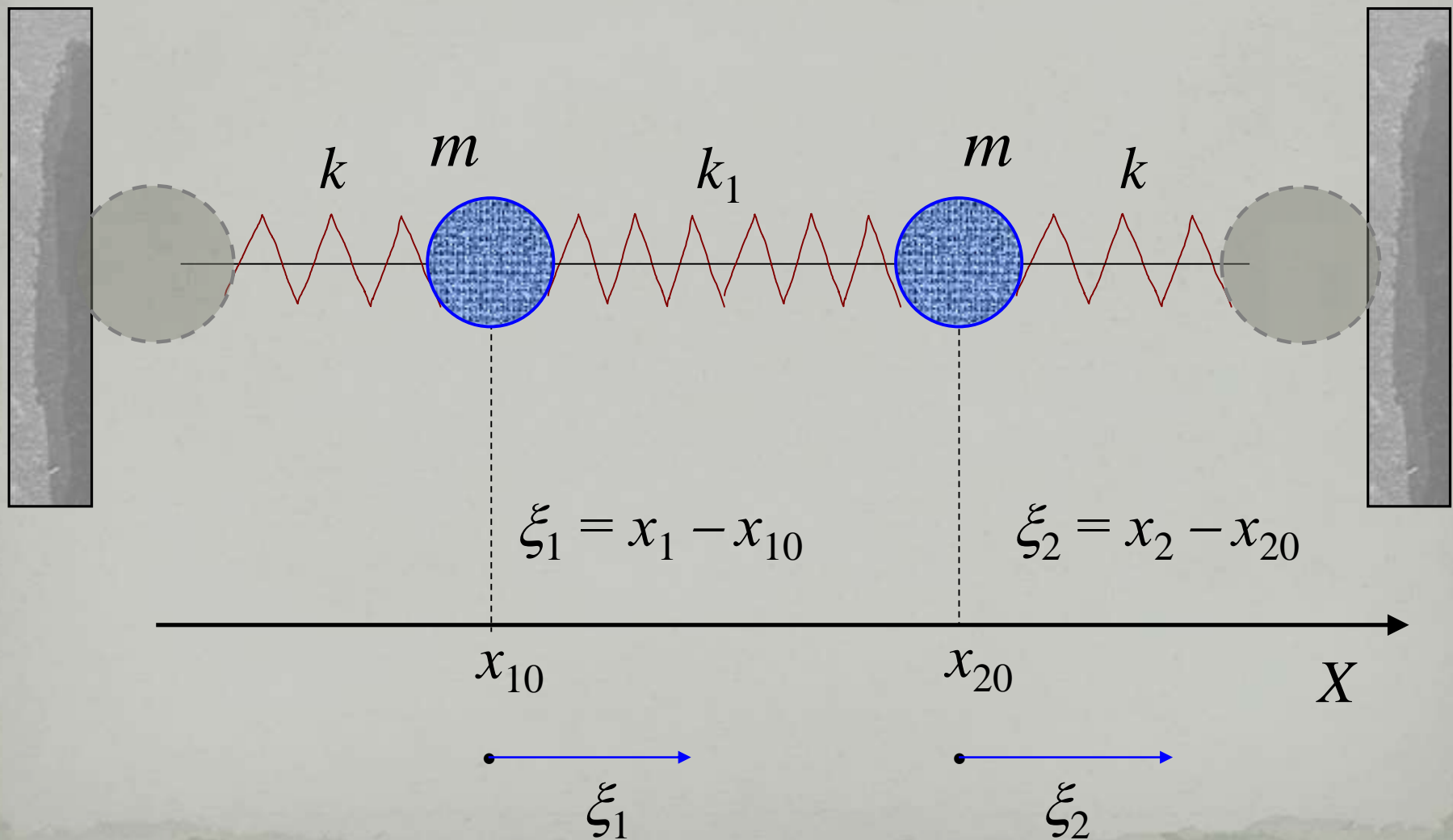
$a_y = \text{const} = g$

Неизохронность !

§ 2. Свободные колебания в системе связанных осцилляторов. (о “модах”...)

Колебания молекул

- 2.1. Симметричная система двух связанных осцилляторов.
- Нормальные колебания



Модель:

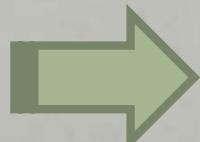
- Крайние атомы неподвижны, а «средние» одинаковы ;
 - Одномерный случай;
 - Система консервативна – трения нет;
 - Все связи – квазиупругие – взаимодействуют линейные осцилляторы.
- Средняя пружинка моделирует связь осцилляторов:

$$k_1 = \frac{d^2 W}{dx^2} \Bigg|_{\begin{array}{l} x_1 = x_{10} \\ x_2 = x_{20} \end{array}}$$

*Система уравнений и её
решение: ...*

→ (Опр.) Нормальными координатами называются линейные комбинации исходных координат, которые позволяют свести систему уравнений к системе уравнений гармонических осцилляторов

*Частоты нормальных
колебаний (мод)*



$$\omega_I = \sqrt{\frac{k}{m}}; \quad \omega_{II} = \sqrt{\frac{k + 2k_1}{m}}$$

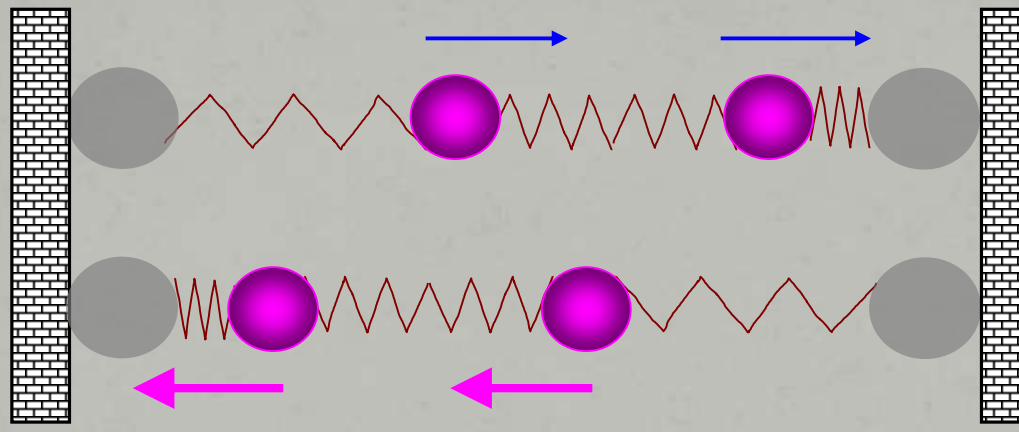
А что же это за «моды» такие,
и как движутся сами атомы

??



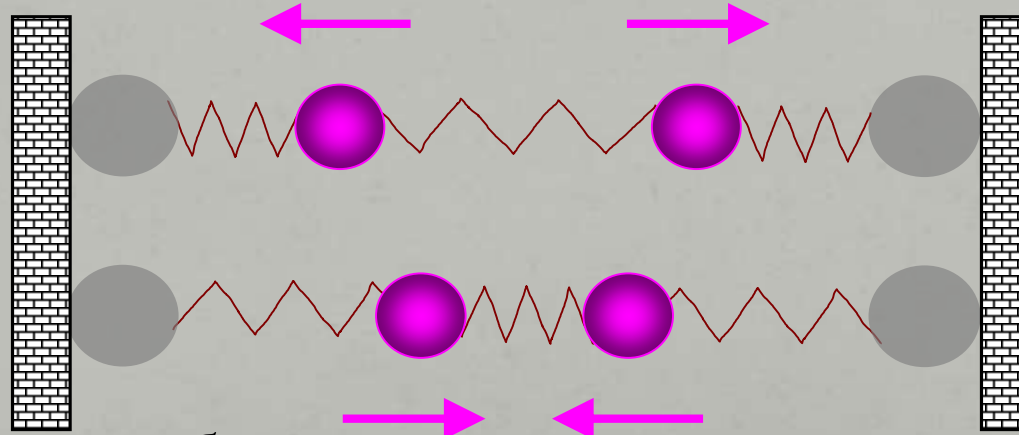
Симметричная система связанных осцилляторов

- “Нормальные колебания” \equiv “Моды”



a

Синфазно



b

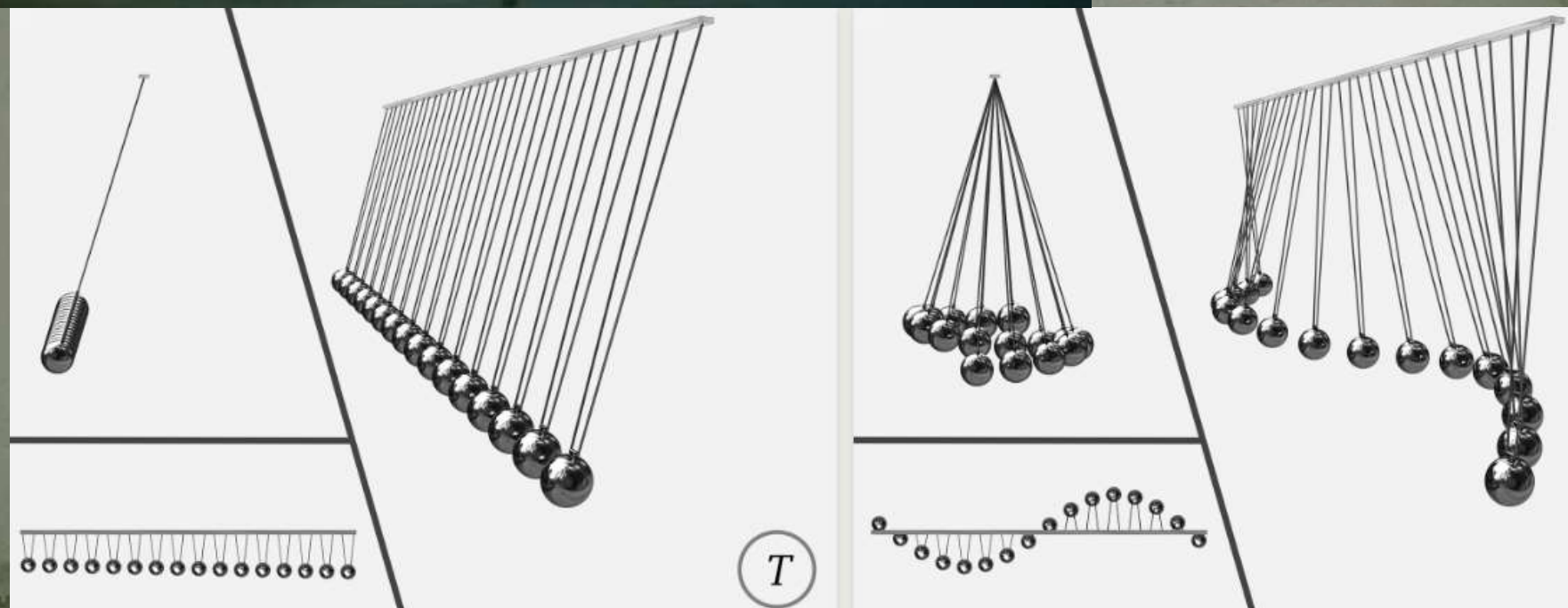
Противофазно

$$\omega_I = \sqrt{\frac{k}{m}};$$

$$\omega_{II} = \sqrt{\frac{k + 2k_1}{m}}$$

Маятник Чеботаева

Pendulum Waves



Антракт

Антракт



- **Замечания:** 1) Симметричная система со слабой связью $k_1 \ll k$



α

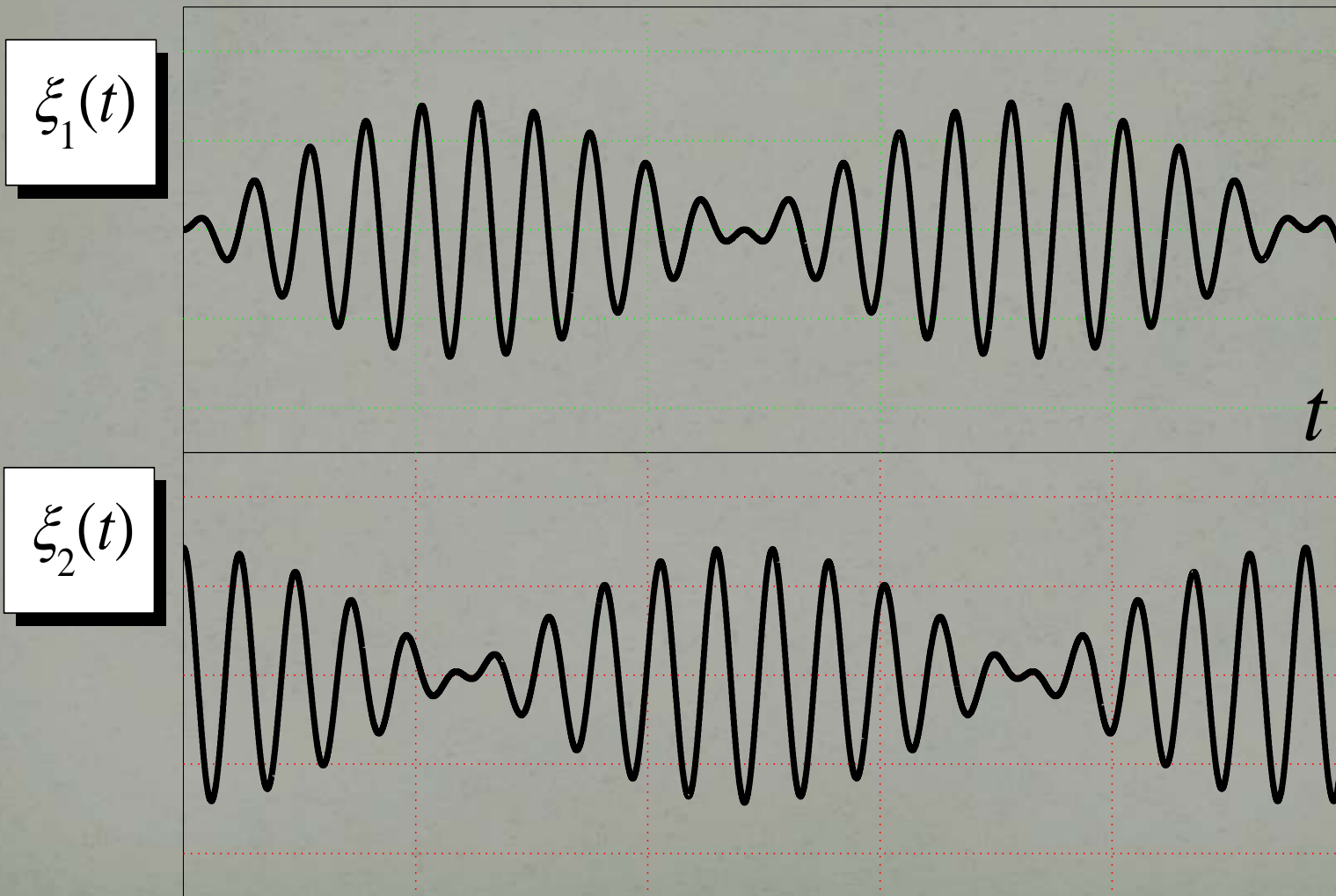
2) Моды энергетически независимы !!

3) Несимметричные системы

??

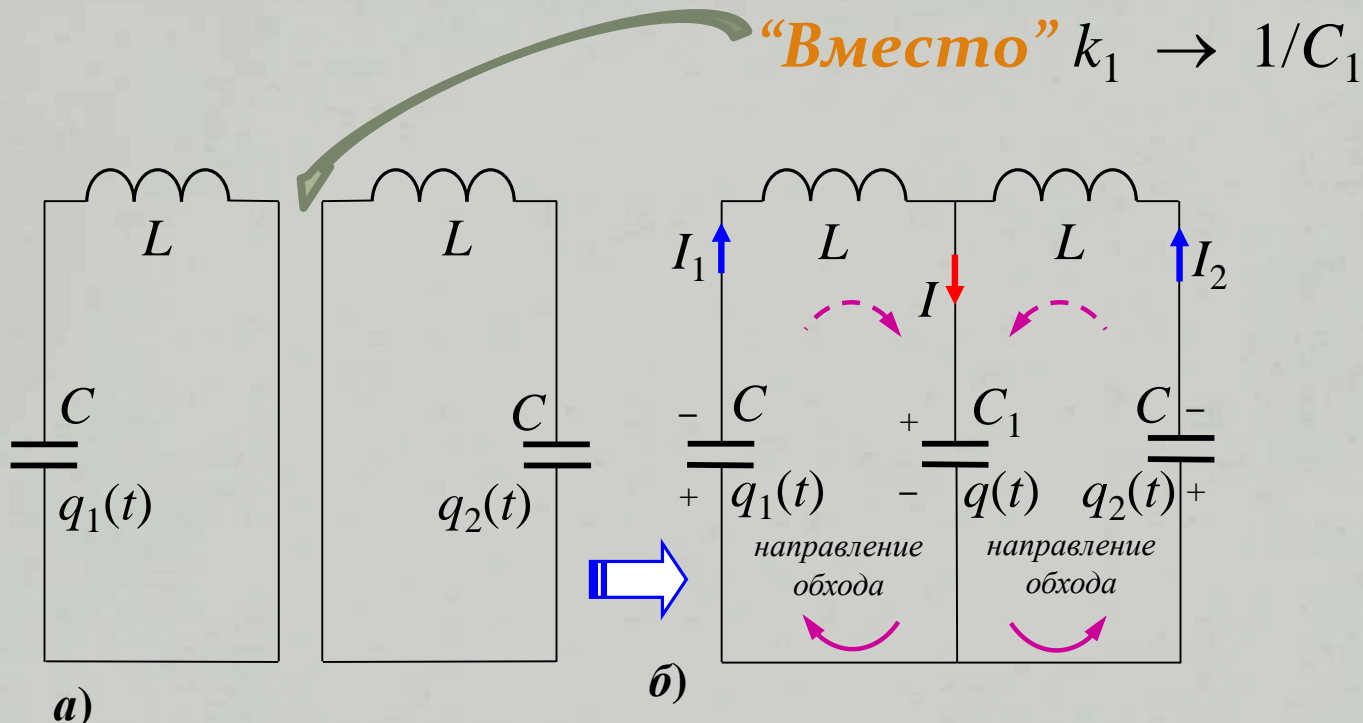
- Замечания: 1) Симметричная система со слабой связью $k_1 \ll k$

Биения



2.2. Связанные колебательные контуры

- «Ёмкостная связь» контуров



2.2. Связанные колебательные контуры

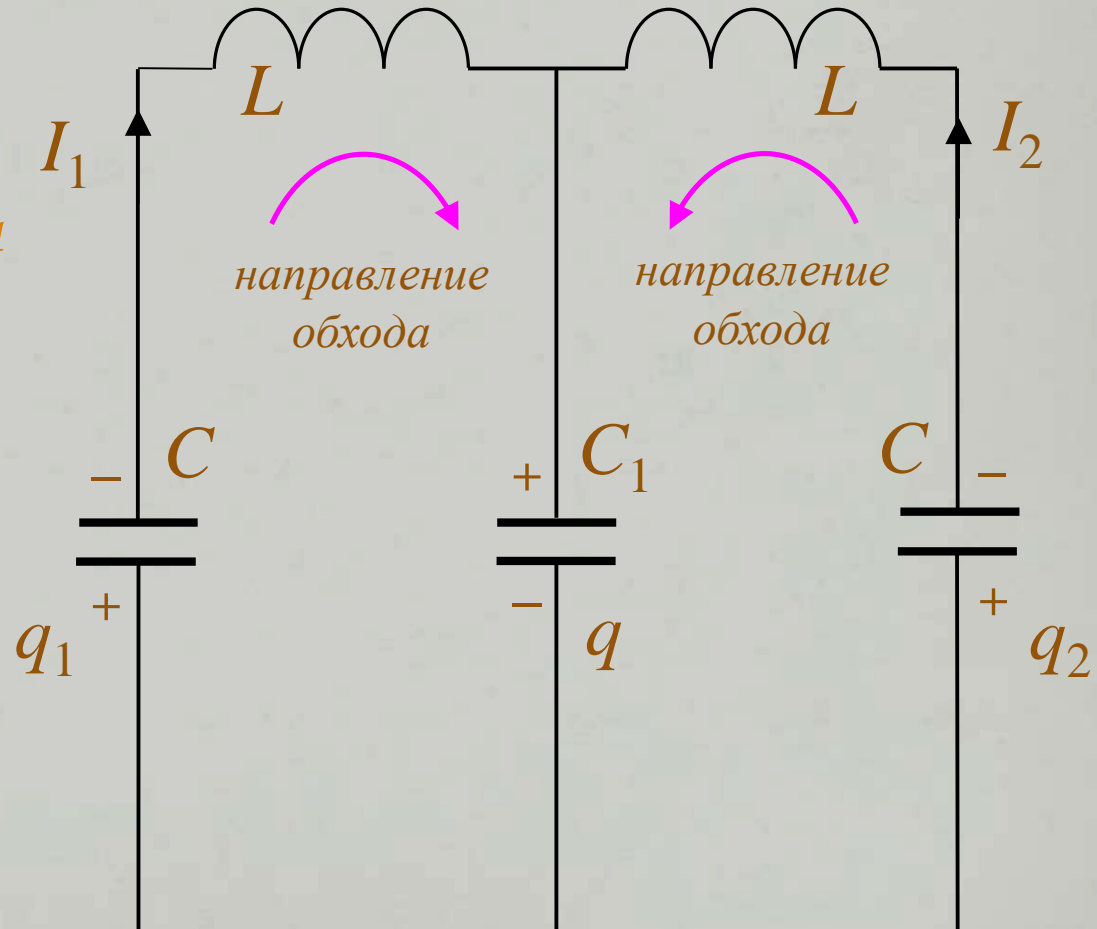
- Ёмкостная связь контуров

2-е правило Кирхгофа
и “-/+”:

$$q_I : \omega_I = \frac{1}{\sqrt{LC}}$$

Синфазно

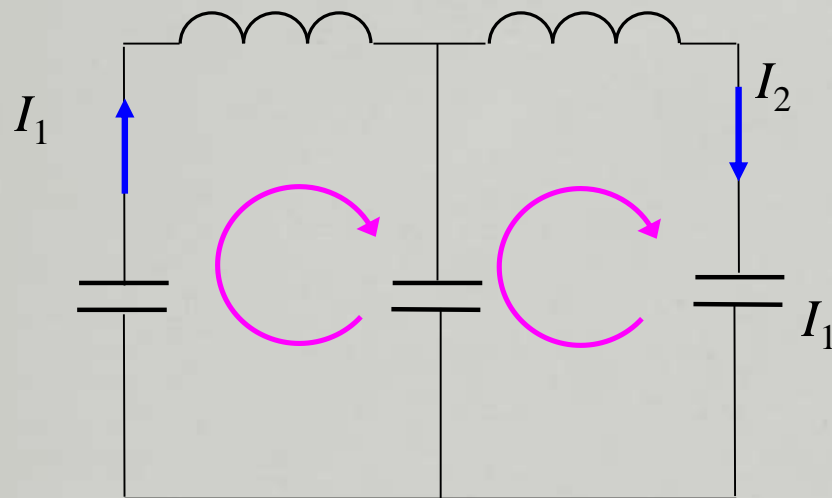
$$q_{II} : \omega_{II} = \sqrt{\frac{1}{L} \left(\frac{1}{C} + \frac{2}{C_1} \right)}$$



Противофазно

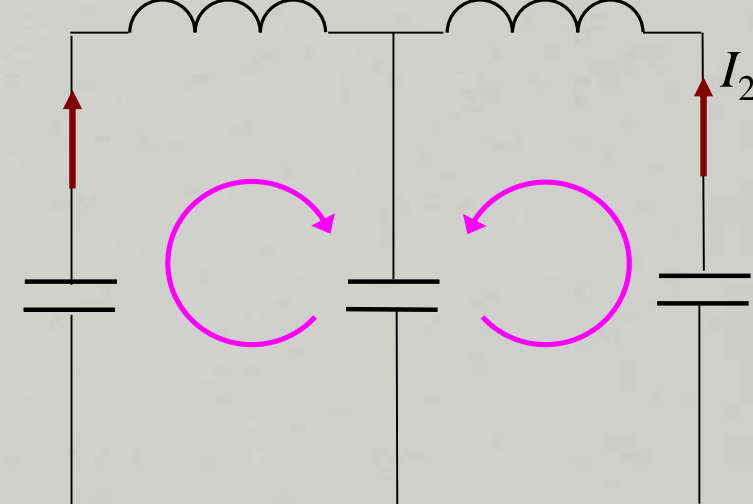
Связанные электрические контуры

- Ёмкостная связь контуров



а) Синфазно

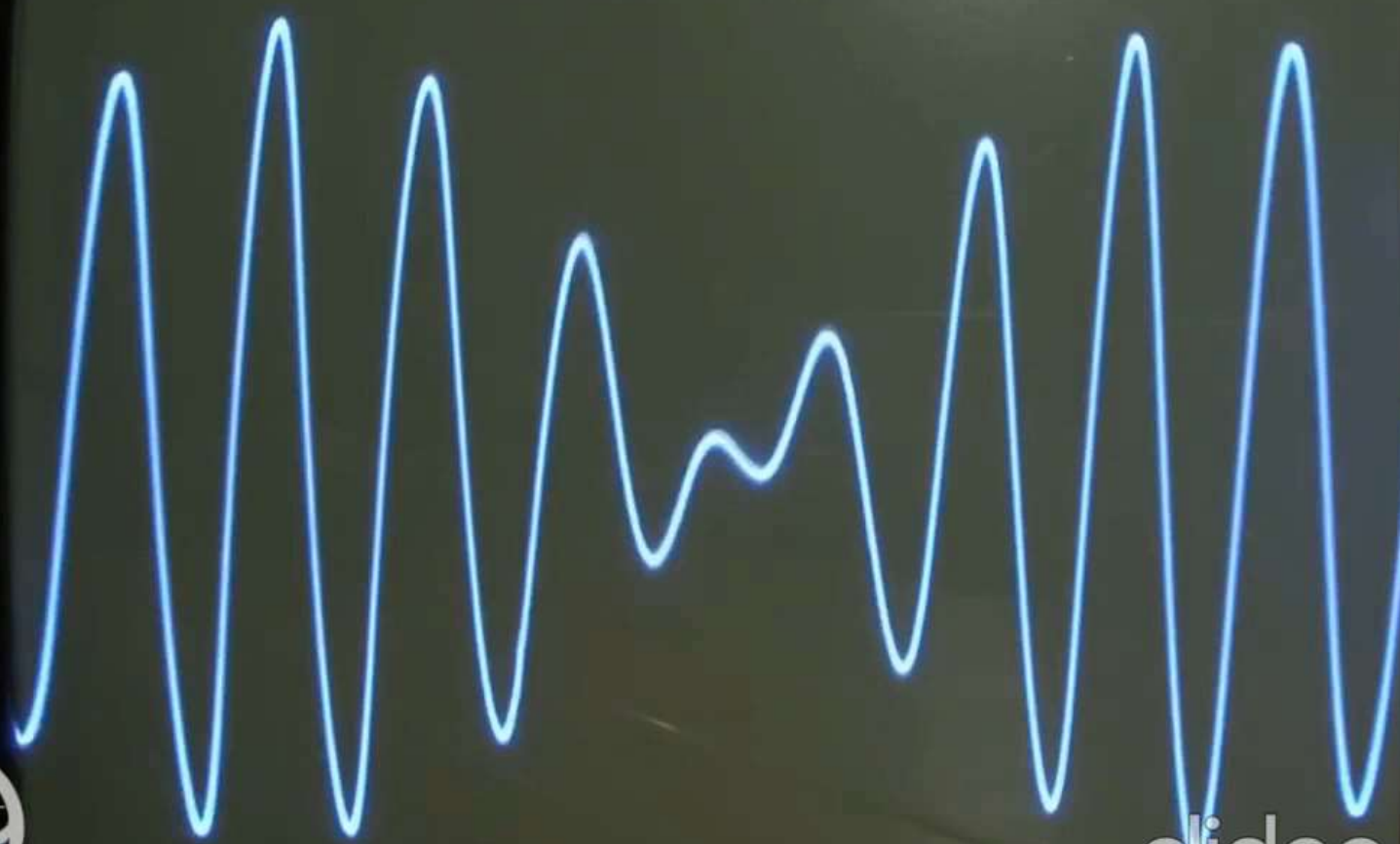
$$\omega_I = \frac{1}{\sqrt{LC}}$$



б) Противофазно

$$\omega_{II} = \sqrt{\frac{1}{L} \left(\frac{1}{C} + \frac{2}{C_1} \right)}$$

Биения для связанных электрических контуров



clideo.com

2.3. Колебания молекул (колебательная/молекулярная спектроскопия)

2.3.1. Двухатомная молекула

Внутримолекулярные колебания свободной двухатомной молекулы (Модель «гармонический осциллятор» в химии)

Задачи 2.3 – 2.5 : $\xi = x_2 - x_1 - l_0$

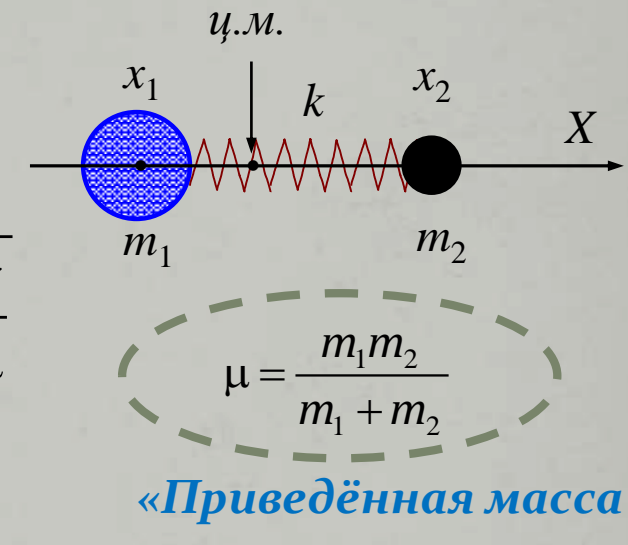
Одна “колебательная степень свободы”
??

А где её можно “увидеть”??

Пример 1. Изотопные сдвиги в колебательных спектрах

$$\frac{\omega_0^{OH}}{\omega_0^{OD}} = \sqrt{\frac{\mu_{OD}}{\mu_{OH}}} = \sqrt{\frac{m_D(m_O + m_H)}{m_H(m_O + m_D)}} \approx 1,37$$

Пример 2. Свободные и связанные гидроксили



«Приведённая масса молекулы»

$$\frac{\omega_0^{\text{своб}}}{\omega_0^{\text{связ}}} = \sqrt{\frac{(m_O + m_H)}{m_O}} \approx 1,031$$

2.3.2. Многоатомные молекулы. Колебательные степени свободы молекул: $3N - 6 / 3N - 5$

?? проверим



Колебания молекул H_2O

$$\bar{\nu}_1 = 3660 \text{ см}^{-1} {}^*)$$

$$\bar{\nu}_3 = 3760 \text{ см}^{-1}$$

$$\bar{\nu}_2 = 1650 \text{ см}^{-1}$$

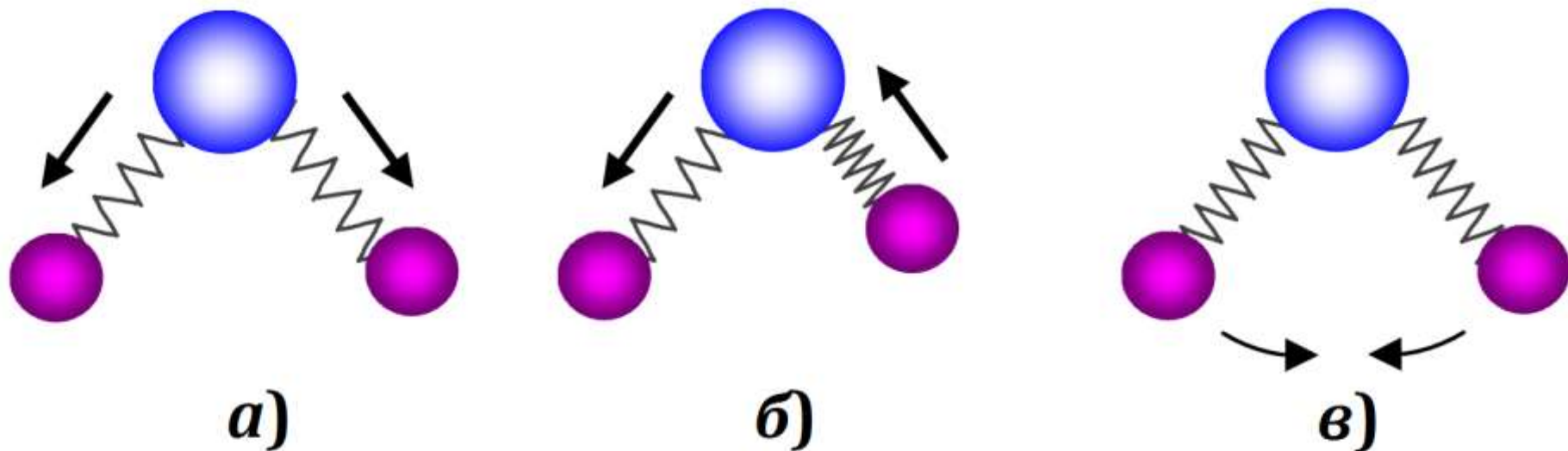


Рис. 2.7. Валентные (а и б) и деформационные (в) моды молекул H_2O

**) «волновое число» в спектроскопии: $1/\lambda$*

Молекулярная / Колебательная спектроскопия :

**1) Инфракрасного поглощения света
(ИК-спектроскопия)**

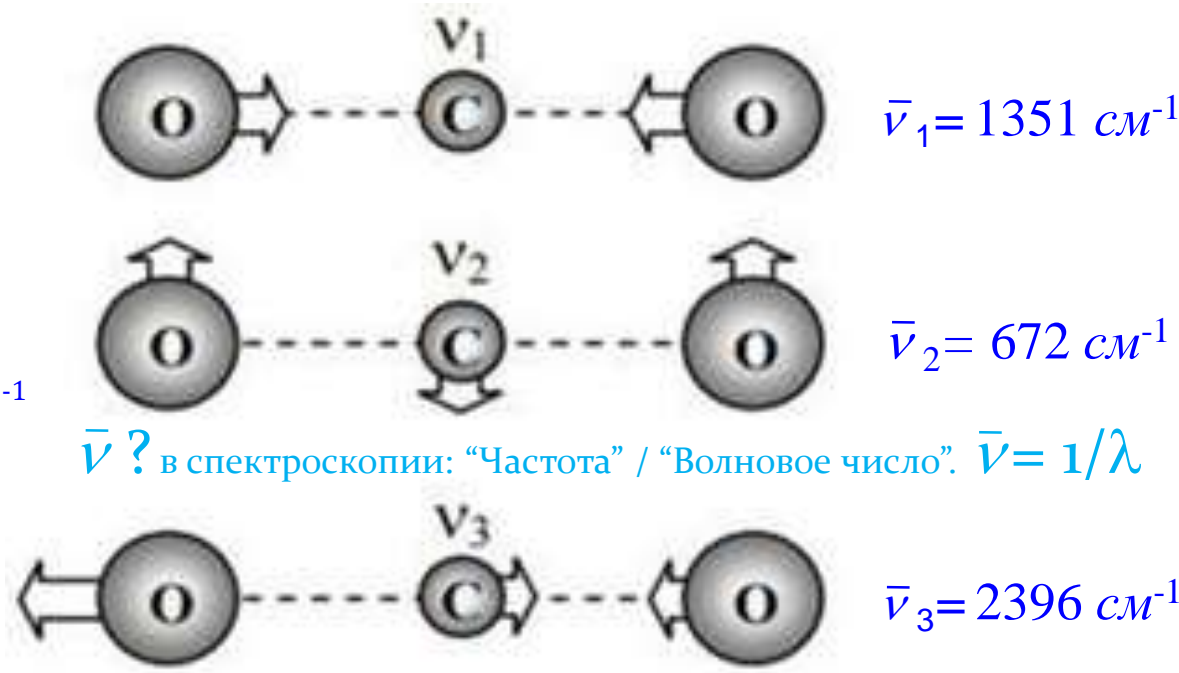
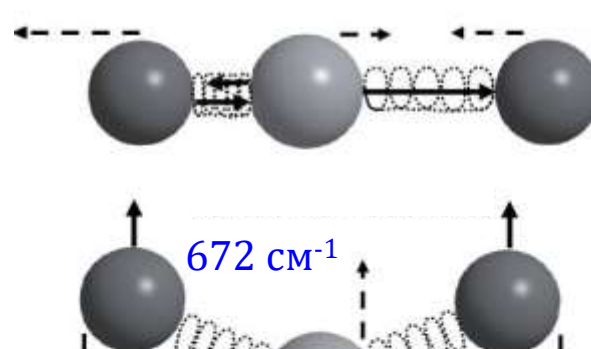
IR-Spetroscopy

**2) Комбинационного рассеяния света
(КР-спектроскопия ≡ "Рамановская")**

Raman Spetroscopy

2.3.2. Многоатомные молекулы. Колебательные степени свободы молекул: $3N - 6 / 3N - 5$

- Линейные молекулы (CO_2)



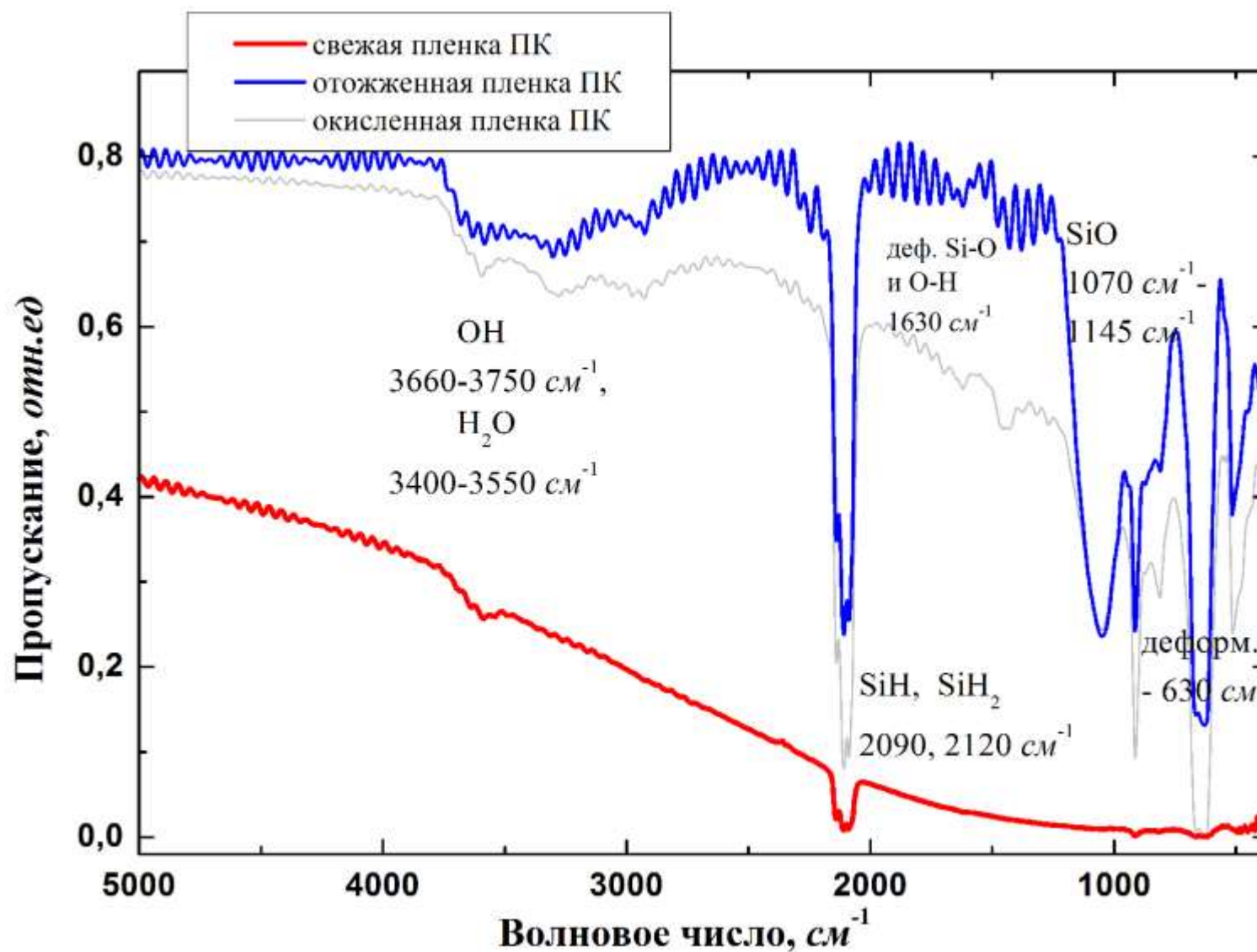
Три фундаментальные моды молекулы CO_2 :

ν_1 - Симметрическая валентная мода;

ν_2 - деформационная мода

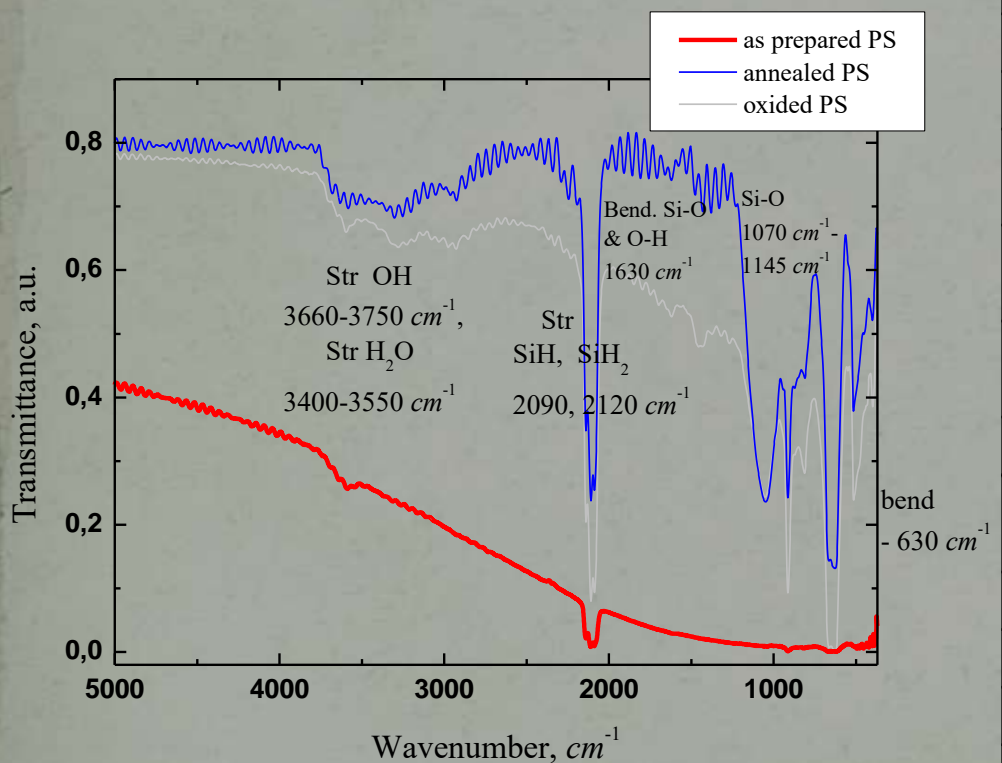
ν_3 - антисимметрическая валентная мода;

Молекулярная колебательная спектроскопия



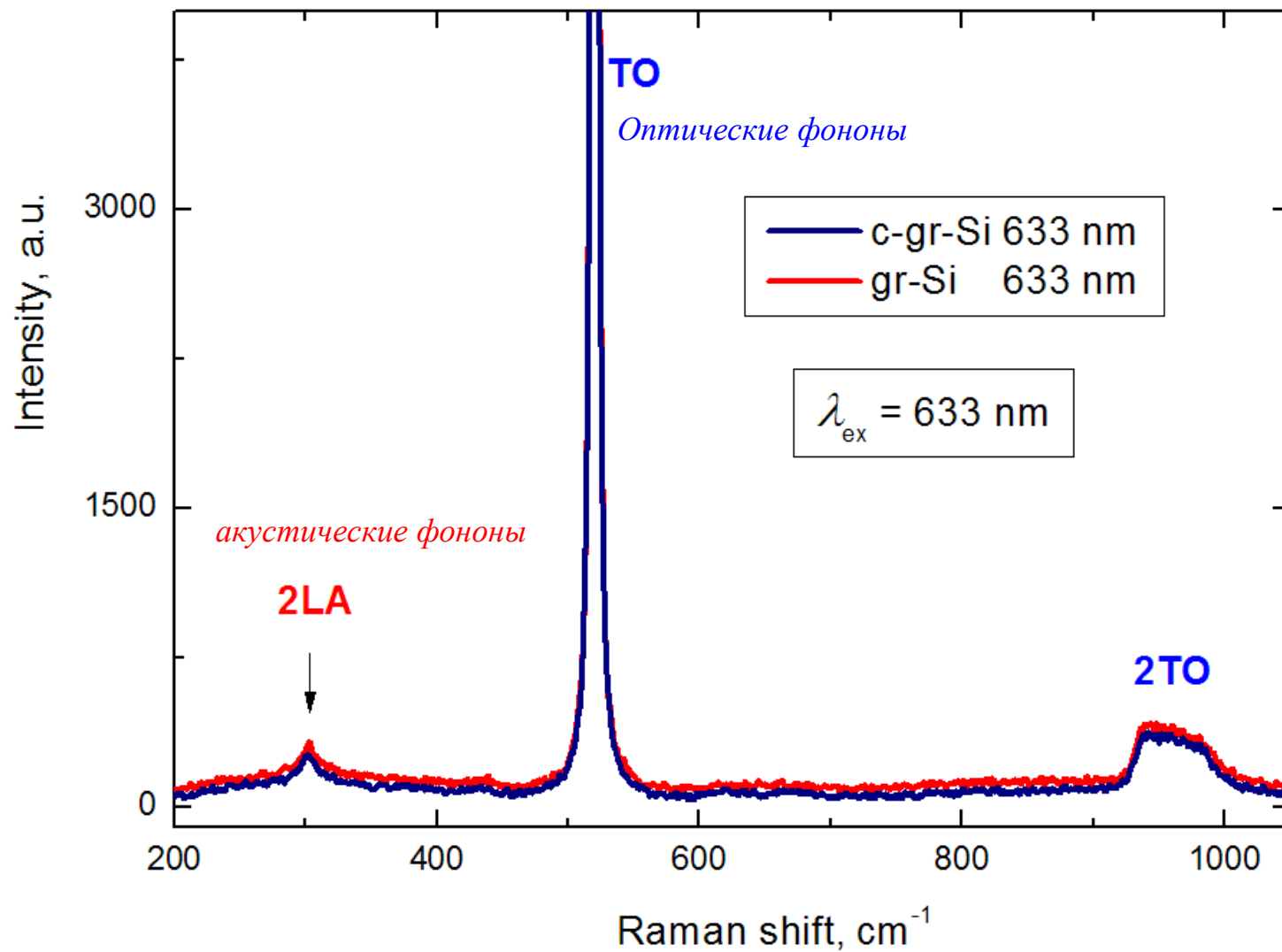
ИК спектроскопия

- The infra-red (IR) spectroscopy of porous silicon

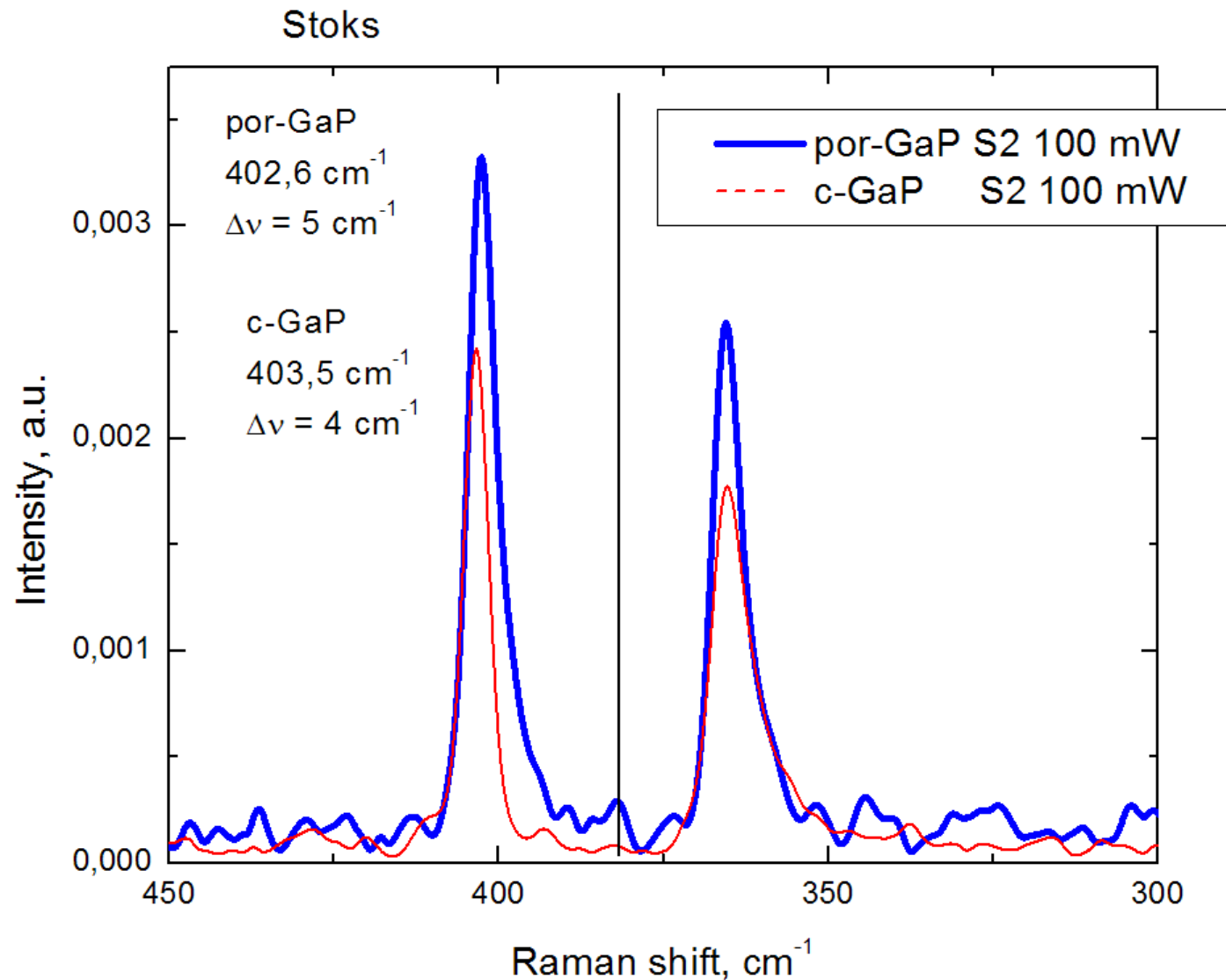


Absorption line, cm^{-1}	Types of vibration mode
3745	Si-OH
3610	O-H stretching vibrations (in SiOH)
3452	O-H stretching vibrations (in H ₂ O)
2958	C-H stretching vibrations (in CH ₃)
2927	C-H stretching vibrations (in CH ₂)
2856	C-H stretching vibrations (in CH)
2197	Si-H stretching vibrations (in SiO ₂ -SiH)
2140	Si-H ₃ stretching vibrations (in SiH ₂ -SiH)
2116	Si-H ₂ stretching vibrations (in Si ₂ H-SiH)
1720	C=O
1056-1160	Si-O stretching vibrations (in Si-O-Si и C-Si-O)
980	Si-F stretching vibrations
979	Si-H bending vibrations (in Si ₂ H-SiH)
950	Si-F stretching vibrations
948	Si-H bending vibrations (in Si ₂ H-SiH)
827	Si-O bending vibrations (in Si-O-Si)
800	Si-CH ₃
624	Si-H bending vibrations (Si ₃ -SiH)
617	Si-Si

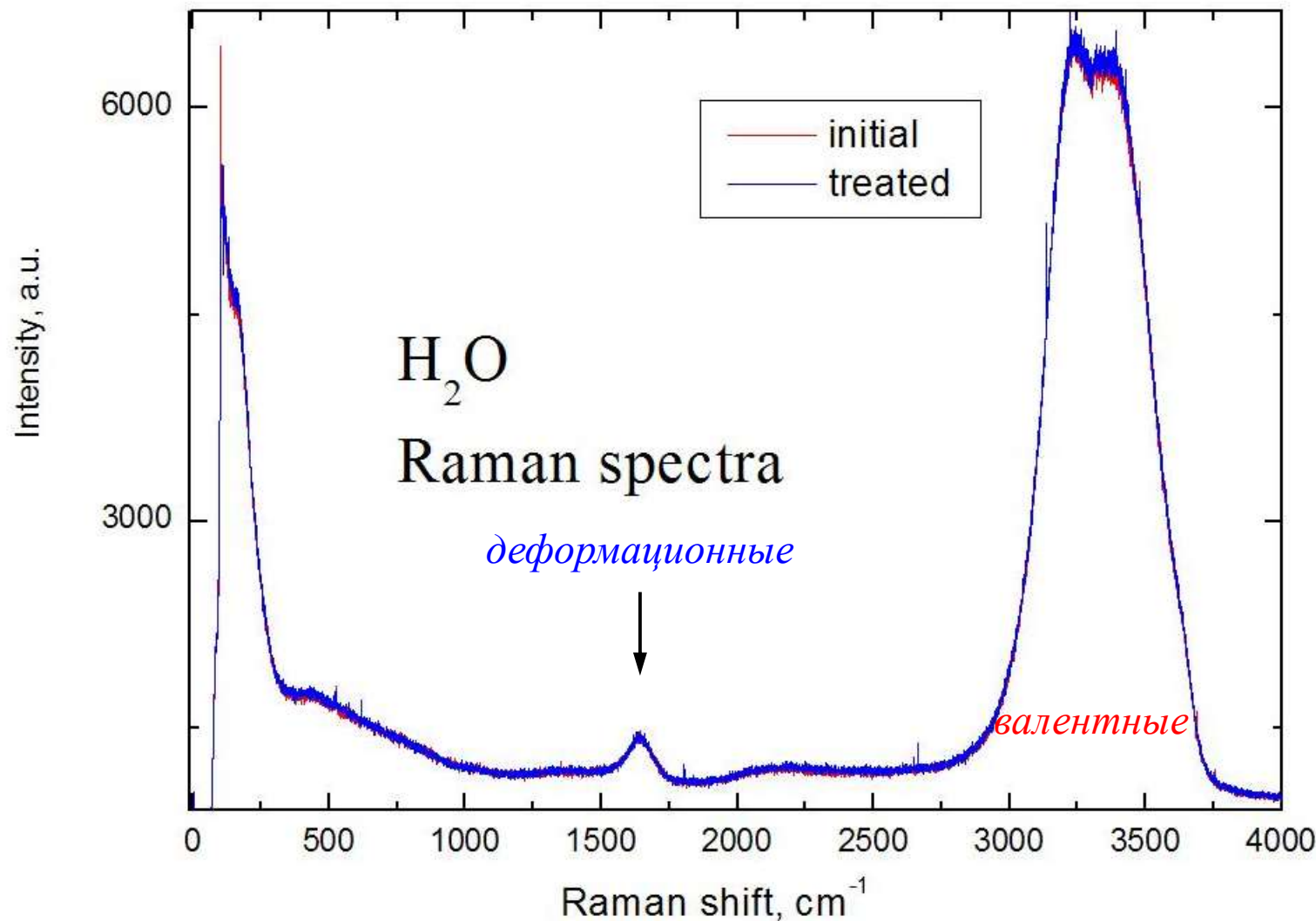
Спектры комбинационного рассеяния света с-Si



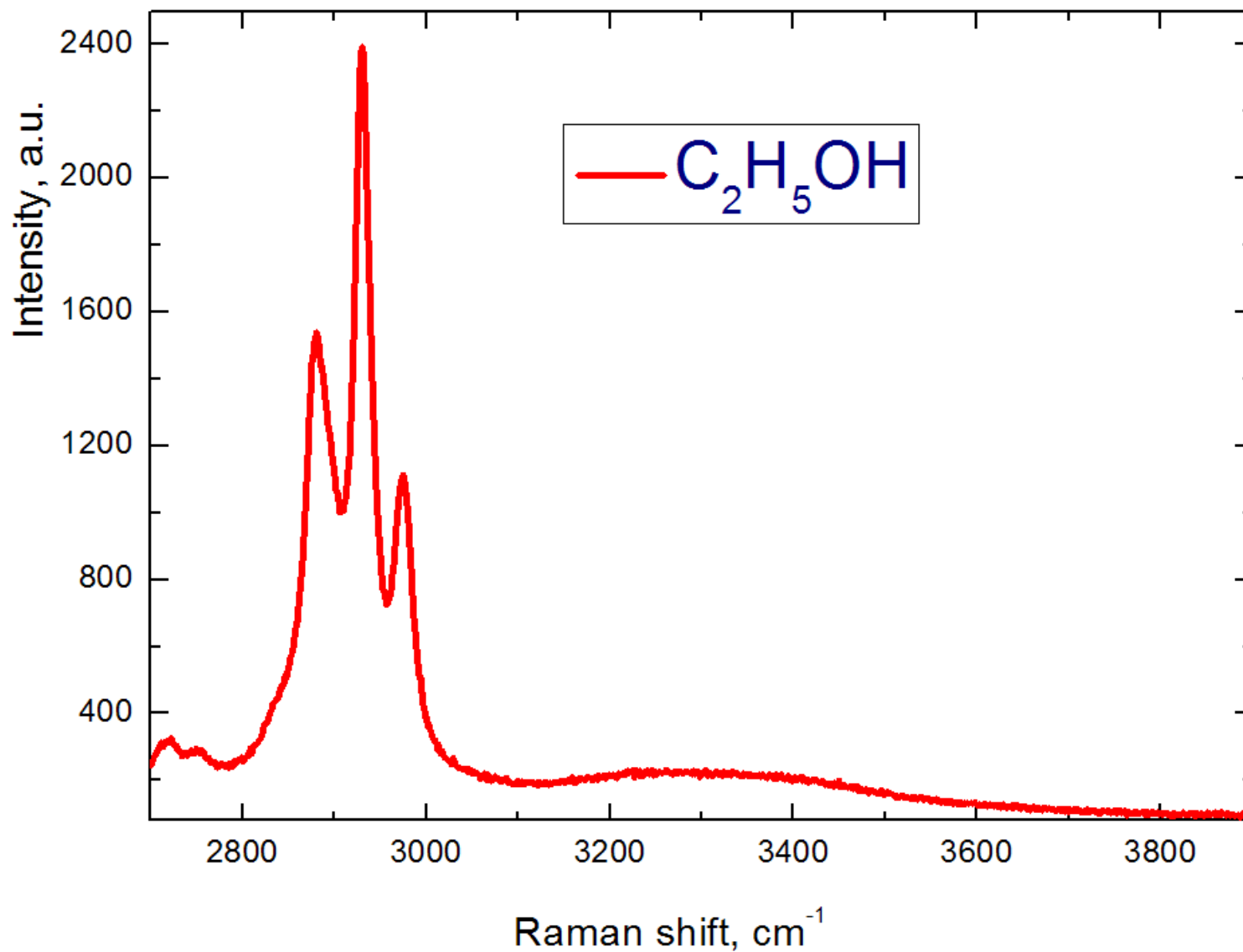
Спектры КРС арсенида галлия (GaP)



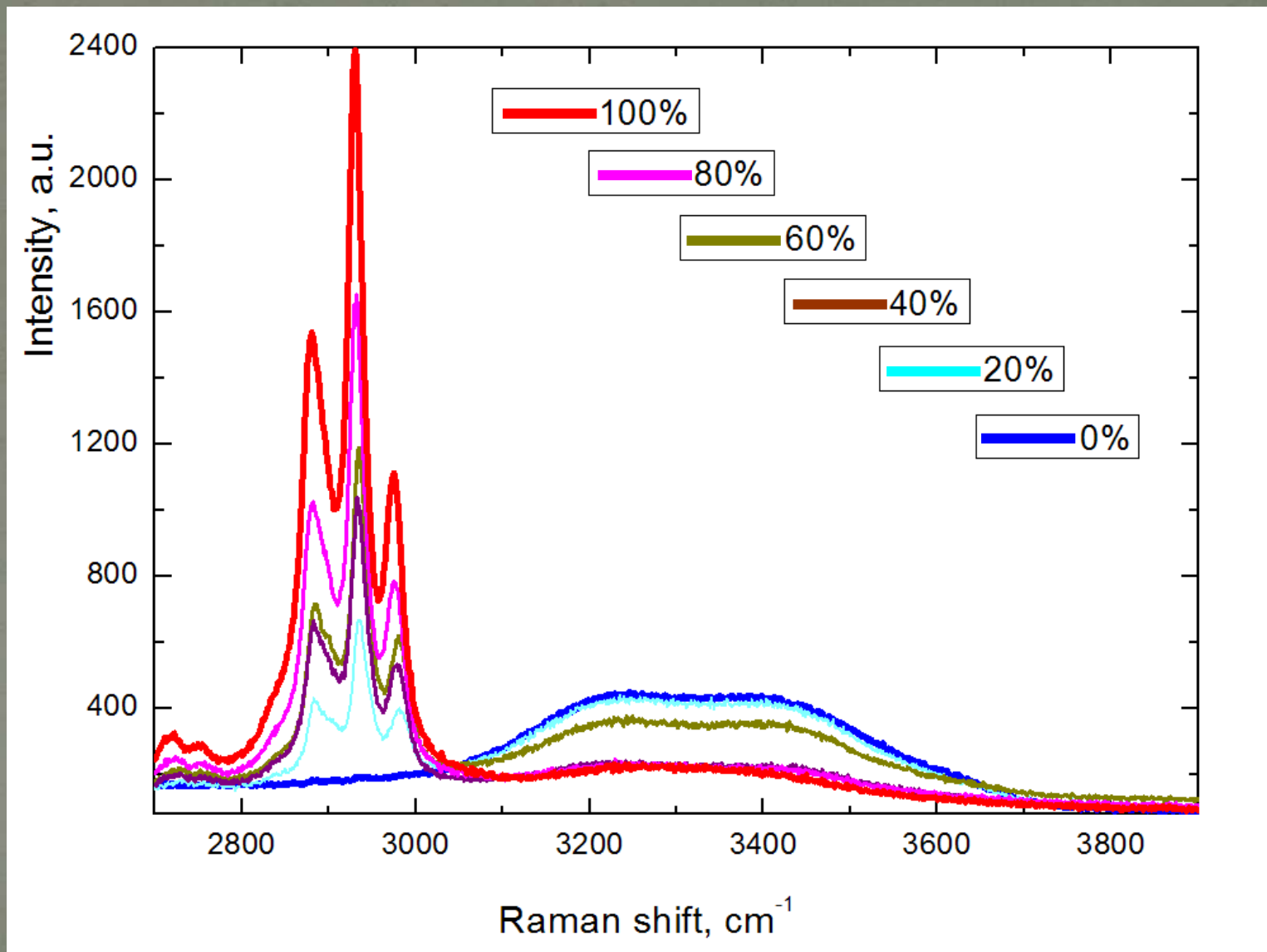
Спектр комбинационного рассеяния света воды



Спектр комбинационного рассеяния света



Спектры комбинационного рассеяния света



Доска 1

$$\xrightarrow{\text{?}} \left\{ \begin{array}{l} m\ddot{z}_1 = -kz_1 + k_1(z_2 - z_1) \\ m\ddot{z}_2 = -kz_2 - k_1(z_2 - z_1) \end{array} \right. \quad \left| \begin{array}{l} : m \\ : m \end{array} \right. \quad \begin{array}{l} + \\ - \end{array}$$

"+" : $\ddot{z}_1 + \ddot{z}_2 = -\frac{k}{m}(z_1 + z_2)$ $\rightarrow z_{\text{I}} = z_1 + z_2$

$\ddot{z}_{\text{I}} + \frac{k}{m}z_{\text{I}} = 0$

$\rightarrow z_{\text{I}}(t) = A_{\text{I}} \cdot \cos(\omega_{\text{I}} t + \varphi_{\text{I}})$

"-": $\ddot{z}_2 - \ddot{z}_1 = -\frac{k}{m}(z_2 - z_1) - \frac{2k_1}{m}(z_2 - z_1) \rightarrow z_{\text{II}} = z_2 - z_1$

$\ddot{z}_{\text{II}} + \frac{k+2k_1}{m}z_{\text{II}} = 0$

$\rightarrow z_{\text{II}}(t) = A_{\text{II}} \cdot \cos(\omega_{\text{II}} t + \varphi_{\text{II}})$

Доска 2

$$\begin{aligned}\ddot{z}_1 &= z_1 + z_2 \quad ; \quad \ddot{z}_1 = \frac{\ddot{z}_1 - \ddot{z}_{\bar{1}}}{2} \quad ; \quad \omega_{o_1} = \sqrt{\frac{k}{m}} \quad ; \\ \ddot{z}_{\bar{1}} &= z_2 - z_1 \quad . \quad \ddot{z}_2 = \frac{\ddot{z}_1 + \ddot{z}_{\bar{1}}}{2} \quad ; \quad \omega_{o_{\bar{1}}} = \sqrt{\frac{k+2k_1}{m}} \\ z_1(t) &= \frac{1}{2} \left[A_{\bar{1}} \cos(\omega_{o_{\bar{1}}} t + \varphi_{o_{\bar{1}}}) - A_1 \cos(\omega_{o_1} t + \varphi_{o_1}) \right] \quad ; \\ z_2(t) &= \frac{1}{2} \left[\dots + \dots \right] .\end{aligned}$$

Доска 3

$$\left\{ \begin{array}{l} -L \frac{dI_1}{dt} = \frac{q_1}{C} + \frac{q}{C_1} ; \\ \text{---} \\ -L \frac{dI_2}{dt} = \frac{q_2}{C} + \frac{q}{C_1} ; \\ \text{---} \\ q = q_1 + q_2 ; \quad I_1 = \frac{dq_1}{dt} = \dot{q}_1 ; \quad I_2 = \frac{dq_2}{dt} = \dot{q}_2 \end{array} \right.$$
$$- \ddot{q}_1 = \frac{1}{LC} q_1 + \frac{1}{LC_1} (q_2 - q_1)$$
$$- \ddot{q}_2 = \frac{1}{LC} q_2 + \frac{1}{LC_1} (q_1 - q_2)$$

Доска 4

$$-(\ddot{q}_1 - \ddot{q}_2) = \frac{1}{LC} (q_1 - q_2)$$

$$q_{\perp} = \overbrace{q_1 - q_2}^{\text{им}} ;$$

$$- \ddot{q}_1 = \frac{1}{LC} q_1 + \frac{1}{LC_1} (q_1 - q_2)$$
$$- \ddot{q}_2 = \frac{1}{LC} q_2 + \frac{1}{LC_1} (q_1 - q_2)$$

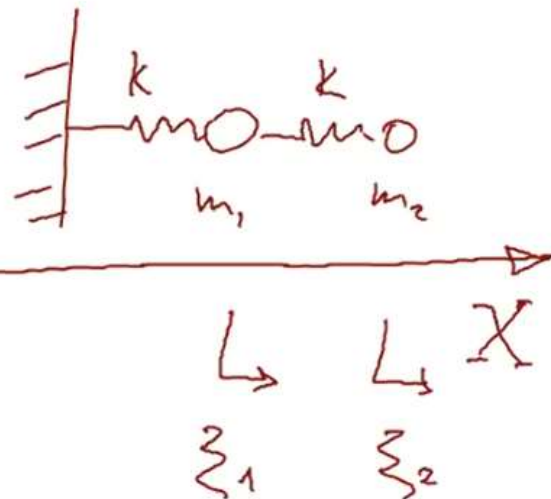
$$\ddot{q}_{\perp} + \frac{1}{LC} q_{\perp} = 0 \rightarrow q_{\perp}(t) = Q_{\perp} \cos(\omega_{0\perp} t + \varphi_{0\perp})$$

$$\omega_{0\perp} = \frac{1}{\sqrt{LC}} ; \leftarrow \text{сопр.}$$

$$q_{\perp} = q_1 + q_2$$

$$-(\ddot{q}_1 + \ddot{q}_2) = \frac{1}{LC} (q_1 + q_2) + \frac{2}{LC_1} (q_1 + q_2)$$

Доска 5. Несимметричные системы



$$\ddot{\xi}_{I,II} = \ddot{\xi}_1 + h \cdot \ddot{\xi}_2 \quad ; \quad h_I, h_{II} \\ \text{коэф.} \quad \omega_{0I}, \omega_{0II}$$

$$\left\{ \begin{array}{l} m_1 \ddot{\xi}_1 = \dots \\ m_2 \ddot{\xi}_2 = \dots \end{array} \right| \begin{array}{l} : m_1 \\ : m_2 \end{array} \quad \times n$$

$$\ddot{\xi}_1 + h \ddot{\xi}_2 = \dots$$

$$h_{I,II}$$

$$\omega_{0I}, \omega_{0II}$$